

# 基於 LSB 的適性高負載資訊隱藏法

冷輝世\*<sup>ab</sup>、游孟霖<sup>a</sup>、曾顯文<sup>b</sup>

國立彰化師範大學數學系<sup>a</sup>

朝陽科技大學<sup>b</sup>

**摘要**—在資訊隱藏領域中，藏量與失真度是兩項重要的指標。本研究嘗試利用著名的邊緣檢測法 (Median Edge Detection, 以下簡稱 MED) 判定平坦區與複雜區，並結合人類視覺系統的概念在平坦區嵌入較少的機密訊息，在複雜區嵌入較多的機密訊息以增加藏量。由於 MED 預測值的不準確性，本研究使用最低有效位元 (Least Significant Bit, 以下簡稱 LSB) 藏匿法以及最佳化像素調整 (Optimal Pixel Adjustment Process, 以下簡稱 OPAP) 的方法嵌入機密訊息以減少失真度。實驗結果顯示本研究可以得到高藏量與低失真的效果。

## 一、前言

在資訊隱藏領域中，藏量與失真度是兩項重要的指標。一般而言，人類視覺系統 (Human Vision System, 以下簡稱 HVS) 對平坦區的變化較為敏感，也就是周圍的像素值都很相近，那麼此像素點有小幅度的變化都很容易被察覺出來；相對的，對於複雜區，也就是周圍的像素值差異很大，那麼此像素點就算有大幅度的變化，也不容易被察覺。本研究利用邊緣檢測法 (Median Edge Detection, 以下簡稱 MED) 判定平坦區與複雜區，並結合 HVS 的概念嵌入機密訊息，若是平滑區，則嵌入較少的訊息，若是複雜區則嵌入較多的訊息。實驗結果顯示本研究的方法可以得到高藏量與低失真的效果，並且可以避免針對 LSB 的偽寫分析的攻擊。

## 二、相關研究

以下分別介紹 LSB (Least Significant Bit, 以下簡稱 LSB) 藏匿法、OPAP (Optimal Pixel Adjustment Process, 以下簡稱 OPAP) 以及 MED (Median Edge Detection, 以下簡稱 MED)。

### 2.1 LSB 藏匿法

Chan 等學者(2004)[2]所提出的 LSB 藏匿法是著名的不可逆式藏匿法，其優點是高藏量與低失真度。此法將機密訊息隱藏在圖像像素值的最後的  $n$  個位元，在藏匿的過程中，機密訊息與像素值皆以二進位表示。

例如：像素值  $x=153=(10011001)_2$ ，要藏入 3 位元的機密訊息為  $(110)_2$ ，將機密訊息藏入後得到新的像素值  $y=(10011110)_2=158$ 。

### 2.2 OPAP

LSB 藏匿法的缺點是當欲藏入的機密訊息長度越長，則隱藏後得到的新圖像品質就越差。Chan 等學者

(2004)[2]另外提出了 OPAP 以改善偽裝影像的失真度。

假設  $x$  是圖像中某個像素值、 $y$  是  $x$  經過 LSB 藏匿法得到的新像素值， $z$  是  $y$  經過 OPAP 得到的新像素值，假設  $d=y-x$ ，根據 LSB 藏匿法，在  $x$  藏入長度為  $n$  位元的機密訊息可得到  $y$ ，因此，

$$d \in [2^{-n}, 2^n] \quad (1)$$

其中依照  $d$  值的範圍，有不同的處理方法：

$$\text{方法一: } d \in (2^{n-1}, 2^n)$$

$$\text{If } y \geq 2^n, \text{ then } z = y - 2^n, \text{ otherwise } z = y$$

$$\text{方法二: } d \in [-2^{n-1}, 2^{n-1}] \quad (2)$$

$$z = y$$

$$\text{方法三: } d \in (-2^n, -2^{n-1})$$

$$\text{If } y < 256 - 2^n, \text{ then } z = y + 2^n, \text{ otherwise } z = y$$

假設一：影像中某像素值  $x=25=(00011001)_2$ ，在像素值中藏入 3 位元 ( $n=3$ ) 的機密訊息  $(111)_2$ ，得到新的像素值  $y=31=(00011111)_2$ ，可算出兩像素的差值  $d=y-x=31-25=6$ ，依照  $d$  值判斷，由(2)此情況適用方法一，因為  $y = 31 \geq 2^3$ ，所以得到新的像素值  $z=y-2^3=31-8=23=(00010111)_2$ ，則誤差由 6 減少為 2。

假設二：影像中某像素值  $x=26=(00011010)_2$ ，在像素值中藏入 3 位元 ( $n=3$ ) 的機密訊息  $(101)_2$ ，得到新的像素值  $y=29=(00011101)_2$ ，可算出兩像素的差值  $d=y-x=29-26=3$ ，依照  $d$  值判斷，由(2)此情況適用方法二，因此得到新的像素值  $z=y=29$ 。

假設三：影像中某像素值  $x=7=(00000111)_2$ ，在像素值中藏入 3 位元 ( $n=3$ ) 的機密訊息  $(001)_2$ ，得到新的像素值  $y=1=(00000001)_2$ ，可算出兩像素的差值  $d=y-x=1-7=-6$ ，依照  $d$  值判斷，由(2)此情況適用方法三，因為  $y = 1 < 256 - 2^3 = 248$ ，所以得到新的像素值  $z=y+2^3=1+8=9=(00001001)_2$ ，則誤差由 6 減少為 2。

以上的各項假設經由 OPAP 可使誤差的絕對值小於  $2^{n-1}$  (其中  $n$  為欲嵌入的機密訊息位元長度)。

### 2.3 MED

Weinberger 等學者(2000)[3]提出的 MED 是著名的邊緣檢測法，除了預測是否有邊緣存在之外，並可預測目標像素的預測值。但是本研究發現，其預測誤差變動範圍非常大。換句話說，若是以一般的差值做為藏入機密訊息長度的依據會造成高度失真。

MED 是用目標像素點  $x$  附近的三個像素點  $a$ 、 $b$ 、 $c$ ，

來預測  $x$  的像素值  $\hat{x}$ 。

$$\hat{x} = \begin{cases} \min\{a,b\} & \text{if } c \geq \max\{a,b\} \\ \max\{a,b\} & \text{if } c \leq \min\{a,b\} \\ a+b-c & \text{otherwise} \end{cases} \quad (3)$$



圖一：目標像素  $x$  與鄰近像素示意圖

本研究僅利用其判斷是否存在邊緣的特性：若  $c \geq \max\{a,b\}$  或  $c \leq \min\{a,b\}$ ，則表示存在邊緣，則稱之為複雜區，否則不存在邊緣則稱之為平坦區。

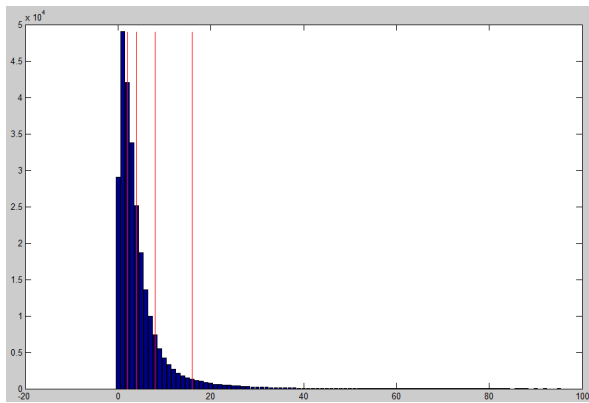
以下說明不使用 MED 的預測值來當作訊息藏匿主要依據的原因。以 SIPI 影像資料庫中的 Lena 圖與 Baboon 圖為例（如圖二）。



(a)Lena (b)Baboon

圖二：SIPI 影像資料庫中的 Lena 圖與 Baboon 圖

圖三與表 I 為 Lena 圖的誤差統計圖與誤差累計百分比，其  $n \leq 16$  的百分比達 95.84%。表示 MED 預測值還算精確。（紅線是相對於 LSB+OPAP 的  $n$  值）



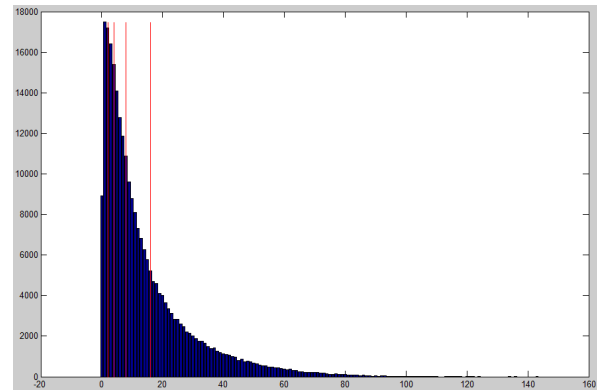
圖三：Lena 圖的誤差值統計圖

表 I  
Lena 圖誤差累計百分比

$n$	$n \leq 2$	$n \leq 4$	$n \leq 8$	$n \leq 16$
累計百分比	45.85%	68.31%	87.25%	95.84%

圖四與表 II 為 Baboon 圖的誤差統計圖與誤差累計百

分比，由於 Baboon 圖是偏向於複雜的圖形其  $n \leq 16$  的百分比只有 69.78%。很明顯的，表示 MED 預測值並不準確。（紅線是相對於 LSB+OPAP 的  $n$  值）



圖四：Baboon 圖的誤差統計圖

表 II  
Baboon 誤差累計百分比

$n$	$n \leq 2$	$n \leq 4$	$n \leq 8$	$n \leq 16$
累計百分比	16.64%	28.77%	47.69%	69.78%

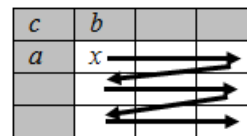
因此，本研究不選擇 MED 的預測值來做為藏匿訊息的依據，而是使用 LSB+OPAP，當嵌入  $n$  個位元時，誤差的絕對值小於  $2^{n-1}$ 。

### 三、研究方法

以下分別說明機密訊息的藏匿方法與取出方法。

#### 3.1 藏匿方法

藏匿過程分成兩個階段進行，首先針對第一行與第一列中的每個像素點，均使用 LSB+OPAP 藏入  $(n-1)$  個位元的機密訊息，如圖五的灰色部份。



圖五：第一階段嵌入

接著將圖五中其它白色部份，依 zig-zag 方式，利用 (3) 判別是否存在邊緣。若是，則藏入  $n$  個機密訊息；若否，則藏入  $(n-1)$  個機密訊息以符合 HVS。

舉例說明如下：假設  $n=3$ ，目標像素  $x=55=(110111)_2$ ，其附近的像素點  $a=28$ 、 $b=47$ 、 $c=20$ ，首先利用 (3) 進行預測。因為  $c \leq \min\{a,b\}$ ，可知存在邊緣，假設要藏入的機密訊息為  $(000)_2$ ，先經過 LSB 藏匿得到  $y=48=(110000)_2$ ，在經過 OPAP 調整，可得  $d=-7$ ，由 (2)，此情況適用方法一，藏匿後得到新的像素點  $z=56=(111000)_2$ 。依此類推，可對整張影像做藏入的處理，最後得到藏有機密訊息的偽裝影像。

### 3.2 取出方法

首先要取出圖五中灰色區域的機密訊息，直接將像素值  $x$  以二進位表示後，取出最後  $(n-1)$  個位元為機密訊息。其次要取出圖五中白色區域的機密訊息，以 zig-zag 的方式依次對像素值  $x$  進行 MED 預測，判別是否存在邊緣。若是則將像素值  $x$  以二進位表示後，取出最後  $n$  個位元；若否，則取出最後  $(n-1)$  個位元。

例如： $n=3$ ，目標像素  $x=56$  為圖五中白色區域的像素點，其鄰近像素  $a=28$ 、 $b=47$ 、 $c=20$ ，則進行 MED 預測。由(2)，因為  $c \leq \min\{a,b\}$ ，可知存在邊緣，將  $x=56$  表示成二進位  $(111000)_2$ ，取出最後三位元  $(000)_2$ ，即可取出藏在目標像素的機密訊息。

### 四、實驗結果

本研究採用 SIPI 影像資料庫中的 Lena、Tiffany、Baboon、F16、Scene 和 Peppers 這六張影像做為實驗對象，並以 LSB 藏匿法、OPAP 與本研究的方法做比較（如圖六）。



圖六：SIPI 影像資料庫的六張實驗影像

表 III 至表 VIII 中的  $n$  值，對於 LSB 與 OPAP 是指嵌入機密訊息的長度，對本研究方法則是有兩種不同的意義，若是該目標像素被判定為有邊緣存在，表示此像素位於複雜區，則嵌入  $n$  個位元；若否，表示此像素位為平坦區，則嵌入  $(n-1)$  個位元。

一般而言，自然影像中的平坦區會遠多於複雜區，所以表 III 至表 VIII 比較使用平坦區的  $n$  值作為對照。以表 III 為例， $n=4$  時，OPAP 方法的 Payload 為 4bpp，PSNR 值為

34.80dB，對照於本研究方法應採用  $n=5$ ，Payload 為 4.68bpp，PSNR 值為 30.02dB。表示本研究在符合 HVS 的情況下具有高藏量。

此外，本研究是基於影像本身的邊緣特性，對於不同的目標像素藏入不同長度的機密訊息，所以可避免針對 LSB 的偽寫分析的攻擊[1]。

表 III  
Lena 圖的實驗結果

Lena		LSB	OPAP	本研究方法
$n=2$	Payload	2.00	2.00	1.70
	PSNR	44.15	46.37	47.36
$n=3$	Payload	3.00	3.00	2.69
	PSNR	37.92	40.72	41.83
$n=4$	Payload	<b>4.00</b>	<b>4.00</b>	3.68
	PSNR	<b>31.78</b>	<b>34.80</b>	35.97
$n=5$	Payload	5.00	5.00	<b>4.68</b>
	PSNR	25.86	28.81	<b>30.02</b>

表 IV  
Tiffany 圖的實驗結果

Tiffany		LSB	OPAP	本研究方法
$n=2$	Payload	2.00	2.00	1.71
	PSNR	44.16	46.34	47.27
$n=3$	Payload	3.00	3.00	2.70
	PSNR	37.91	40.65	41.73
$n=4$	Payload	<b>4.00</b>	<b>4.00</b>	3.69
	PSNR	<b>31.82</b>	<b>34.67</b>	35.82
$n=5$	Payload	5.00	5.00	<b>4.68</b>
	PSNR	26.10	28.36	<b>29.57</b>

表 V  
Baboon 圖的實驗結果

Baboon		LSB	OPAP	本研究方法
$n=2$	Payload	2.00	2.00	1.63
	PSNR	44.15	46.37	47.61
$n=3$	Payload	3.00	3.00	2.63
	PSNR	37.92	40.74	42.08
$n=4$	Payload	<b>4.00</b>	<b>4.00</b>	3.63
	PSNR	<b>31.86</b>	<b>34.81</b>	36.19
$n=5$	Payload	5.00	5.00	<b>4.64</b>
	PSNR	25.81	28.81	<b>30.19</b>

表 VI  
F16 圖的實驗結果

F16		LSB	OPAP	本研究方法
$n=2$	Payload	2.00	2.00	1.69
	PSNR	44.16	46.37	47.40
$n=3$	Payload	3.00	3.00	2.68
	PSNR	37.98	40.73	41.89
$n=4$	Payload	<b>4.00</b>	<b>4.00</b>	3.67
	PSNR	<b>31.84</b>	<b>34.82</b>	36.04
$n=5$	Payload	5.00	5.00	<b>4.67</b>
	PSNR	26.07	28.82	<b>30.07</b>

表VII  
Scene 圖的實驗結果

Scene		LSB	OPAP	本研究方法
n=2	Payload	2.00	2.00	1.68
	PSNR	44.16	46.37	47.40
n=3	Payload	3.00	3.00	2.68
	PSNR	37.91	40.73	41.89
n=4	Payload	<b>4.00</b>	<b>4.00</b>	3.66
	PSNR	<b>31.86</b>	<b>34.82</b>	36.05
n=5	Payload	5.00	5.00	<b>4.66</b>
	PSNR	25.78	28.80	<b>30.10</b>

表VIII  
Peppers 圖的實驗結果

Peppers		LSB	OPAP	本研究方法
n=2	Payload	2.00	2.00	1.73
	PSNR	44.16	46.38	47.26
n=3	Payload	3.00	3.00	2.72
	PSNR	37.92	40.72	41.70
n=4	Payload	<b>4.00</b>	<b>4.00</b>	3.70
	PSNR	<b>31.81</b>	<b>34.81</b>	35.90
n=5	Payload	5.00	5.00	<b>4.68</b>
	PSNR	25.75	28.82	<b>29.98</b>

## 五、結論

本研究是基於影像本身的邊緣特性，利用著名的 MED 邊緣檢測法判定平坦區與複雜區，結合 HVS 的概念，在平滑區嵌入 $(n-1)$ 個位元，複雜區嵌入  $n$  個位元。實驗結果顯示本研究的方法可以得到高藏量與低失真的效果。此外，由於本研究對於不同的目標像素藏入不同長度的機密訊息，所以可避免針對 LSB 的偽寫分析的攻擊。

## 參考文獻

- [1] W. J. Chen, C. C. Chang, T. Le. "High payload steganography mechanism using hybrid edge detector," *Expert Systems with Applications*, 2010, pp. 3292-3301.
- [2] C. K. Chan, L. M. Cheng. "Hiding data in images by simple LSB substitution," *Pattern recognition*, 2004, pp. 469-474.
- [3] M. L. Weinberger, Seroussi G, "The LOCO-I lossless image compression algorithm:principles and standardization into JPEG-LS," *IEEE Trans. Image Process*, 2000, pp. 1309-1324.